



UNICAMP

Universidade Estadual de Campinas

Faculdade de Engenharia Elétrica e de Computação

IA048 – Aprendizado de Máquina

17 de maio de 2024

Docentes: Levy Boccato & Romis Attux

Discente:

– Gabriel Toffanetto França da Rocha – 289320

Atividade 3 – Redes Neurais

Sumário

1	Apresentação dos dados	2
2	MLP	4
2.1	Busca do melhor modelo	4
2.1.1	Número de neurônios	4
2.1.2	Função de ativação	7
2.1.3	<i>Dropout</i>	8
2.1.4	Otimizador	10
2.2	Análise do melhor modelo	12
2.2.1	Análise dos erros	13
3	CNN Simples	16
3.1	Busca do melhor modelo	16
3.2	Análise do Melhor modelo	18
3.2.1	Análise dos erros	19
3.3	Aplicando uma entrada 64x64 à camada convolucional	21
4	CNN Profunda	23
4.1	Análise do desempenho	23
4.2	Análise de erros	24
5	Conclusão	28
	Referências	30
	Anexos	31

1 Apresentação dos dados

A base de dados BloodMNIST é formada por um total de 15380 imagens de células sanguíneas divididas em 8 classes, como mostrado na Figura 1. Essas amostras se dividem em conjunto de treinamento, com 11959 representantes e teste, com 3421 itens. As imagens estão disponíveis em diferentes resoluções, sendo *a priori*, escolhida a resolução de 28x28 para trazer uma maior eficiência computacional, principalmente para o caso das redes densas. Porém, propõem-se o teste de amostras de maior resolução para a rede convolucional já treinada com as amostras 28x28, para validação da robustez ao tamanho da entrada.

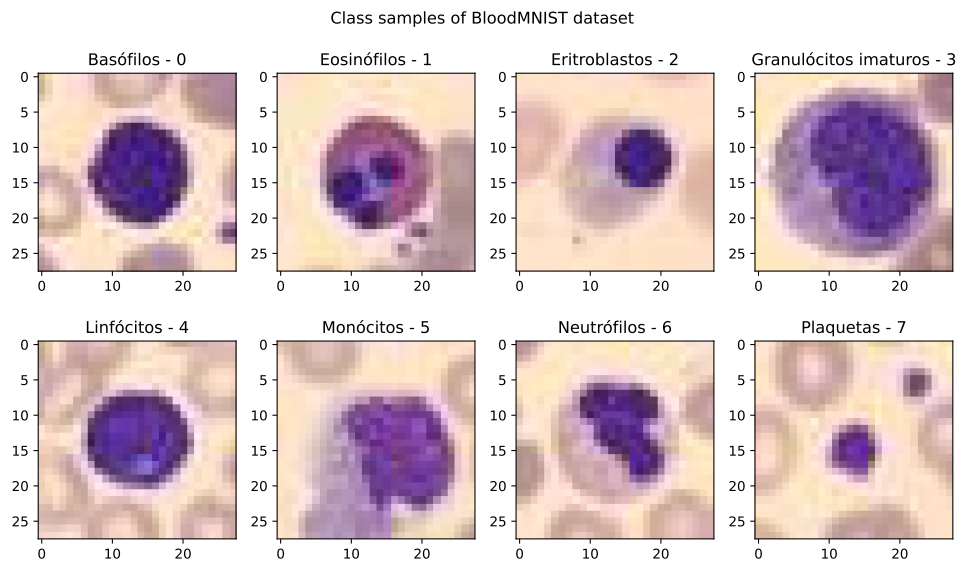


Figura 1: Amostras das classes do *dataset* BloodMNIST.

O *dataset* BloodMNIST já fornece de forma separada os dados utilizados para treinamento, e os que serão utilizados para teste. A Figura 2 mostra a distribuição de amostrar para cada classe, para os conjuntos de treinamento, em azul, e de teste, em verde. Observa-se que existem classes majoritárias, como a 1, 3, 6 e 7, que apresentam muito mais amostras que as demais. O perfil de amostras por classe é similar nos conjuntos de teste e treinamento, o que mostra que o impacto no mapeamento pelo desbalanceamento das classes irá afetar de forma igual ambos os *datasets*.

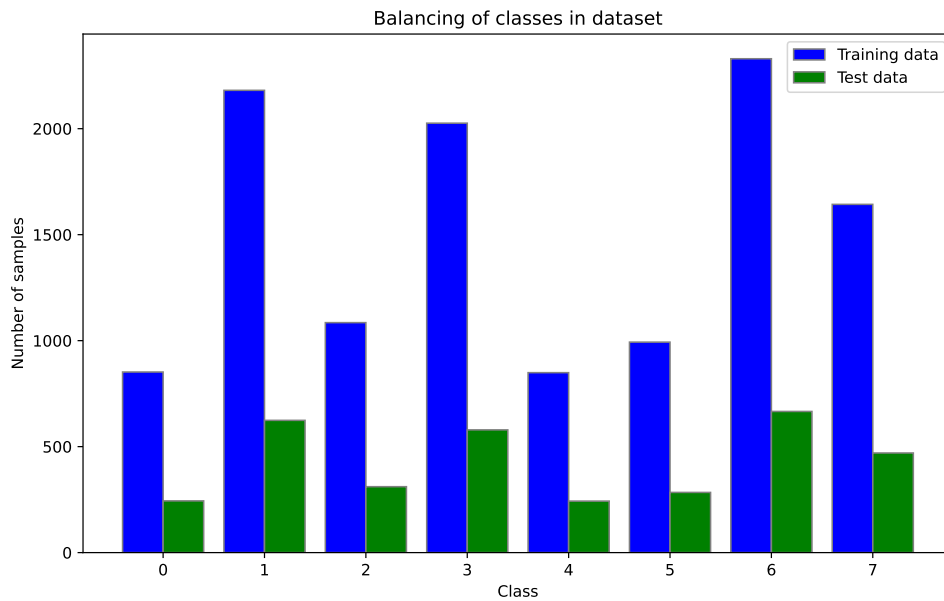


Figura 2: Balanço das classes nos *datasets* de treinamento e teste.

Para realizar o treinamento utilizando da ferramenta de validação cruzada, foi escolhida a validação do tipo *holdout*, por meio do particionamento do conjunto de dados de treinamento, obtendo um novo conjunto de dados de validação. O novo conjunto de treinamento é formado pelos primeiros 70% do conjunto original de treinamento, enquanto o de validação, os 30% restantes do final do *dataset* original. Para garantir a veracidade da validação, quer-se que ambos os conjuntos tenham a mesma representação de cada classe, o que pode se afirmar positivo de acordo com a Figura 3.

Os dados de treinamento, validação e teste foram normalizados em uma escala de 0 a 1, de forma a facilitar o processo de ajuste de pesos via gradiente.

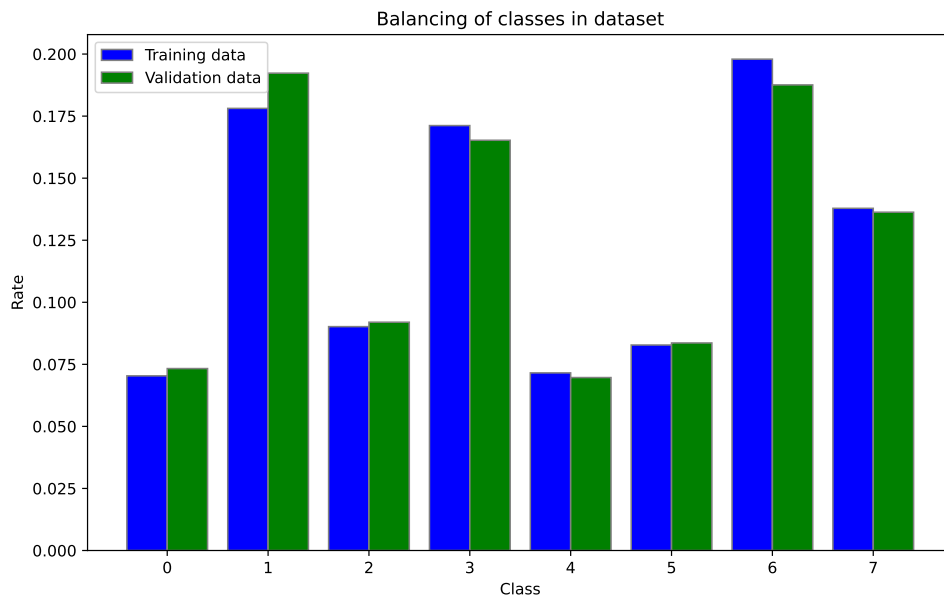


Figura 3: Balanço das classes nos conjuntos de dados de treinamento e validação cruzada do tipo *holdout*.

2 MLP

A implementação da rede MLP com uma camada intermediária se deu por meio do uso do *framework* TensorFlow, possuindo uma camada de entrada que sequencia os pixels da imagem em um vetor, uma camada de neurônios intermediária, e uma camada de saída com função de ativação *softmax* para geração do vetor *one-hot encoding* das probabilidades da entrada pertencer à cada uma das 8 classes.

2.1 Busca do melhor modelo

Para realizar a busca do melhor modelo da MLP, considerando que existem uma grande possibilidade de hiper-parâmetros, foi realizada uma busca exaustiva simplificada por etapas, baseada no funcionamento dos *wrappers*, onde dada uma configuração inicial de parâmetros, baseado no comumente visto na literatura (GÉRON, 2019). As variáveis selecionadas para a busca foram: Número de neurônios da camada intermediária, função de ativação dos neurônios da camada intermediária, taxa de *dropout* dos neurônios da camada intermediária e otimizador para ajuste dos pesos. Demais hiper-parâmetros como tamanho do *batch* e passo do algoritmo de otimização foram mantidos *default*, e foi utilizada a entropia cruzada como função de custo, acompanhando também a métrica de acurácia.

A busca por etapas se deu da seguinte forma: Dada a condição inicial, uma MLP de 256 neurônios na camada intermediária com função de ativação ReLU, sem *dropout* e ajustada por *Stochastic Gradient Descendent* (SGD), testou-se a rede alterando primeiramente o número de neurônios. Uma vez conhecido o valor que obteve maior acurácia, testou-se as funções de ativações candidatas para esse número de neurônios, buscando a combinação que desse a melhor acurácia. O processo se repete para o *dropout* e o algoritmo de otimização, onde ao final se obtém a combinação que agrega o melhor número de neurônios visto, melhor função de ativação para tal conjunto de neurônios, melhor taxa de *dropout* e o melhor otimizador.

Hiper-parâmetros variados durante a busca:

- Número de neurônios: [256; 512; 1024; 2048; 4096]
- Função de ativação: [ReLU; Sigmoid]
- *Dropout*: [0,0; 0,25; 0,5]
- Otimizador: [SGD; ADAM]

Para todos os casos, foram treinadas 500 épocas, com *mini-batch* de 32 amostras, utilizando uma função de *callback* para salvar os parâmetros da melhor época, evitando assim preocupações com *overfitting*.

2.1.1 Número de neurônios

Com intuito de definir a quantidade de neurônios que irão compor a camada intermediária da MLP, treinou-se a rede para camadas intermediárias com 256, 512, 1024, 2048 e 4096 neurônios,

monitorando a perda e a acurácia para os dados de treinamento e de validação. Os gráficos da Figura 5, mostram a evolução dessas medidas ao longo das épocas. Observa-se que para todos os casos, ocorre *overfitting* no treinamento, onde a perda de validação, em vermelho, começa a apresentar uma elevação na sua curva ruidosa. Porém, como o treinamento foi realizado salvando o conjunto de pesos da melhor época, não se faz um problema treinar o modelo mais épocas do que o necessário.

Ao analisar a acurácia e perda de validação para cada um dos modelos treinados com uma quantidade diferente de neurônios na camada intermediária, obtém-se a Figura 4. Como esperado, ao aumentar o número de neurônios se aumenta a acurácia e reduz a perda, uma vez que a rede se torna mais flexível e consegue aproximar mais o mapeamento alvo do treinamento. Porém, com o aumento da flexibilidade da máquina, o treinamento também se torna mais desafiador, sendo necessários uma grande quantidade de dados para maximizar a generalização do modelo.

Considerando todos os números de neurônios utilizados, não há um aumento estrondoso da acurácia, mostrando que para todos eles, o mapeamento pode ser bem aproximado, porém, a redução da perda é considerável considerando a rede com camada intermediária de 256 neurônios e a de 4096 neurônios. Observando a forma da curva de acurácia, é perceptível que a taxa de crescimento apresenta uma saturação, ou seja, o valor máximo da acurácia que pode ser atingido por essa arquitetura de rede neural tende a atingir um valor máximo.

Com isso, a camada intermediária de 4096 neurônios foi escolhida para a rede final, e será utilizada nas buscas dos hiper-parâmetros subsequentes.

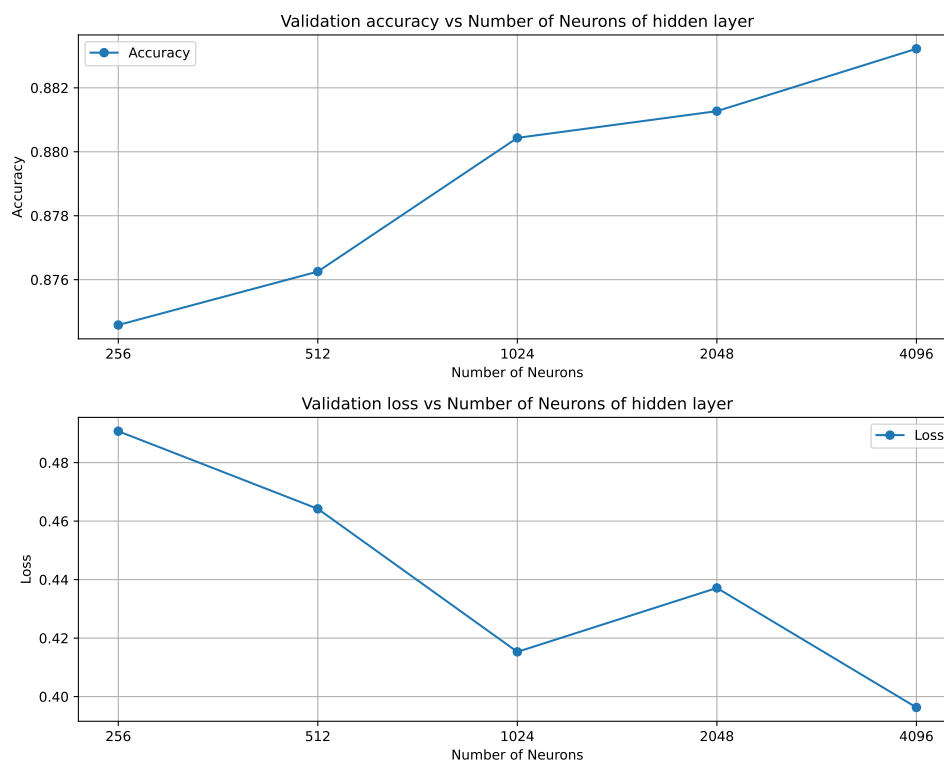
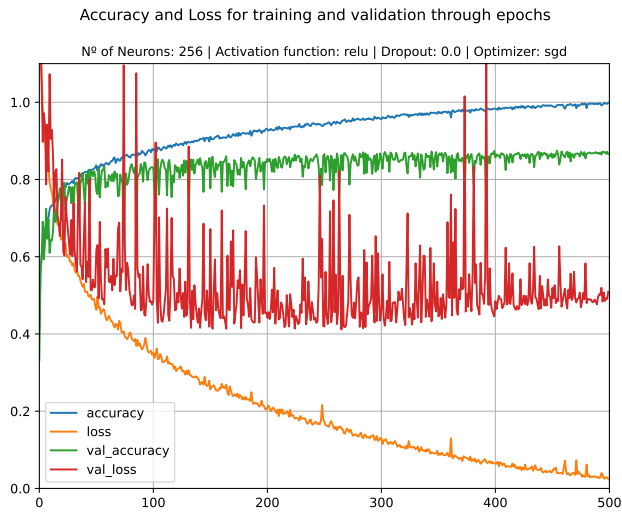
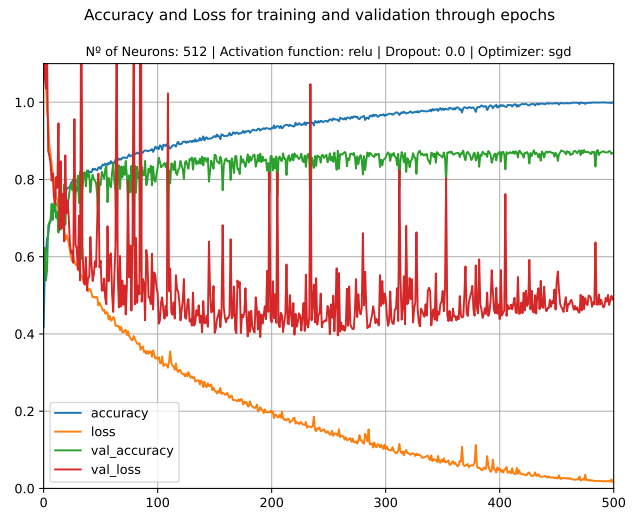


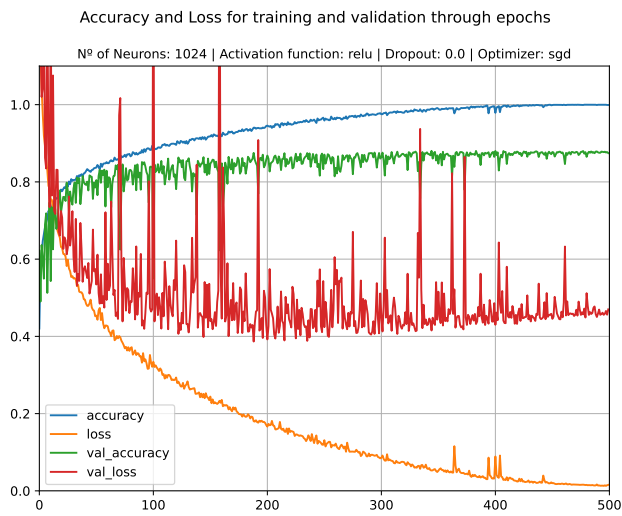
Figura 4: Acurácia e perda com a variação do número de neurônios da camada intermediária.



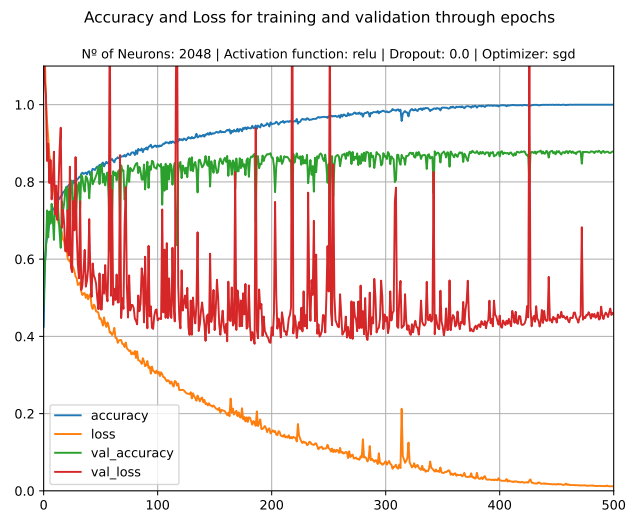
(a) 256 neurônios.



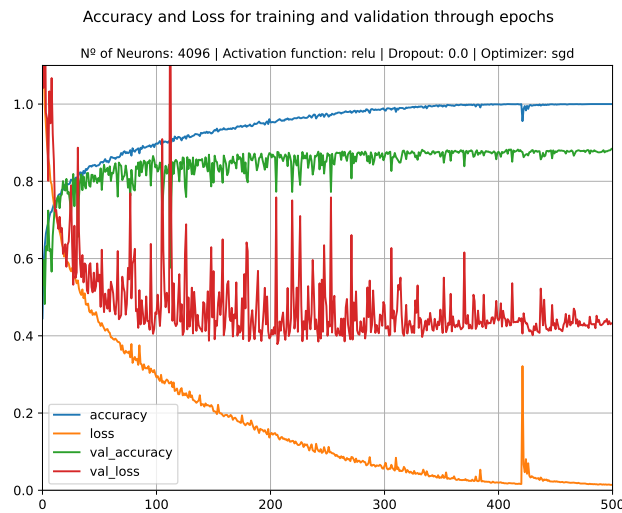
(b) 512 neurônios.



(c) 1024 neurônios.



(d) 2048 neurônios.



(e) 4096 neurônios.

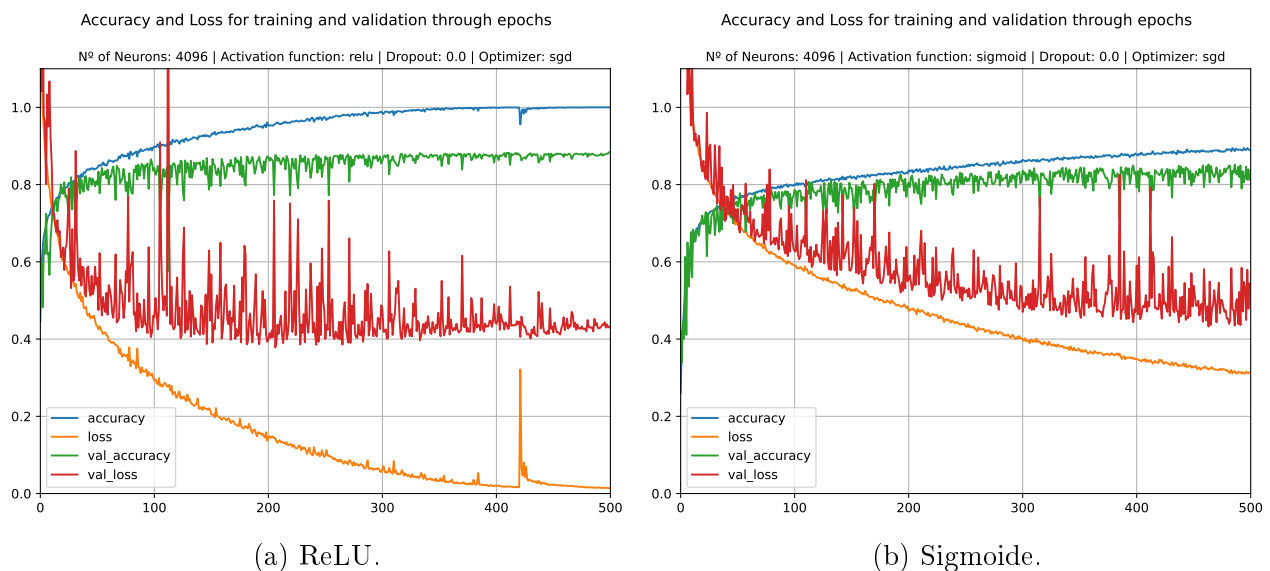
Figura 5: Evolução da perda e acurácia de treinamento e validação com as épocas de treinamento para cada número de neurônios avaliados.

2.1.2 Função de ativação

A função de ativação é a responsável por dar um mapeamento não-linear para a MLP, dessa forma, sua escolha é crucial para viabilizar o treinamento da rede, assim como para garantir a capacidade de generalização da mesma. Foram escolhidas duas funções de ativação com características diferentes, a ReLU, que executa a operação de um retificador linear, e a sigmoide, que varia seu valor de 0 a 1 na forma de uma função logística.

A Figura 6a mostra o desenvolvimento do treinamento para a rede com função de ativação ReLU. Observa-se que ocorre um leve *overfitting*, e que é possível se aproximar de forma considerável de um bom mínimo local da superfície de erro. Já para a função sigmoide, Figura 6b, o treinamento ocorre de forma muito mais lenta, não se aproximando tanto do mínimo local. Mesmo assim, se observa a saturação da acurácia de validação em um valor menor.

Como a função sigmoide apresenta saturação, seus valores de ativação tendem a ser menores que os valores de saída de neurônios com ReLU, o que faz com que o gradiente seja limitado e os passos de treinamento sejam menores, justificando um treinamento mais lento, e a acomodação na bacia de atração de um mínimo local de pior qualidade.



(a) ReLU.

(b) Sigmoide.

Figura 6: Evolução da perda e acurácia de treinamento e validação com as épocas de treinamento para cada função de ativação candidata.

Como previsto pelos dados de treinamento, a acurácia para a rede com função de ativação logística é menor, como visto na Figura 7. Dessa forma, a função ReLU foi mantida como função de ativação do modelo final, e continuará sendo usada nas próximas buscas.

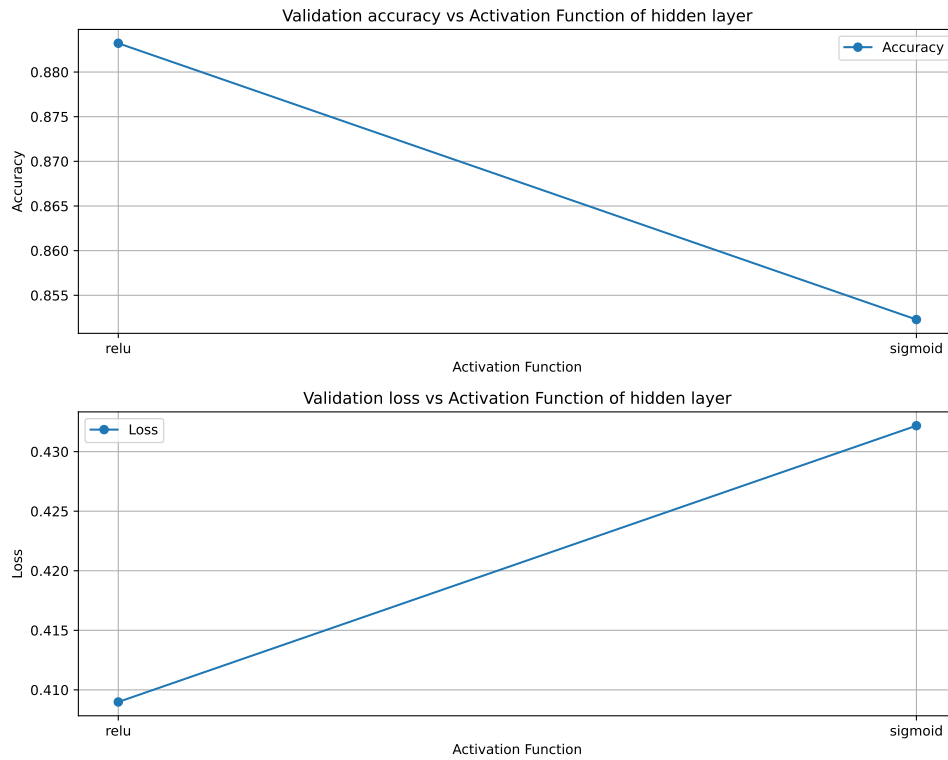


Figura 7: Acurácia e perda com a variação da função de ativação dos neurônios da camada intermediária.

2.1.3 Dropout

Uma vez que se está sendo utilizada uma rede com 4096 neurônios na camada intermediária, o treinamento se torna desafiador, onde para maximizar a capacidade de generalização, se deseja que todos os neurônios apresentem uma função útil na camada. Para isso, buscou-se o uso do *dropout*, que foi testado com diferentes taxas.

Os gráficos da Figura 8 mostram a evolução do treinamento da MLP sem *dropout*, e com taxas de *dropout* de 0,25 e 0,5. Observa-se primeiramente, que a inserção dessa técnica limitou o *overfitting*, e para o caso da Figura 8c, resultou em uma maior lentidão do treinamento da rede, ou seja, o desligamento dos neurônios se tornou forte o suficiente para diminuir a capacidade de aprendizado da rede.

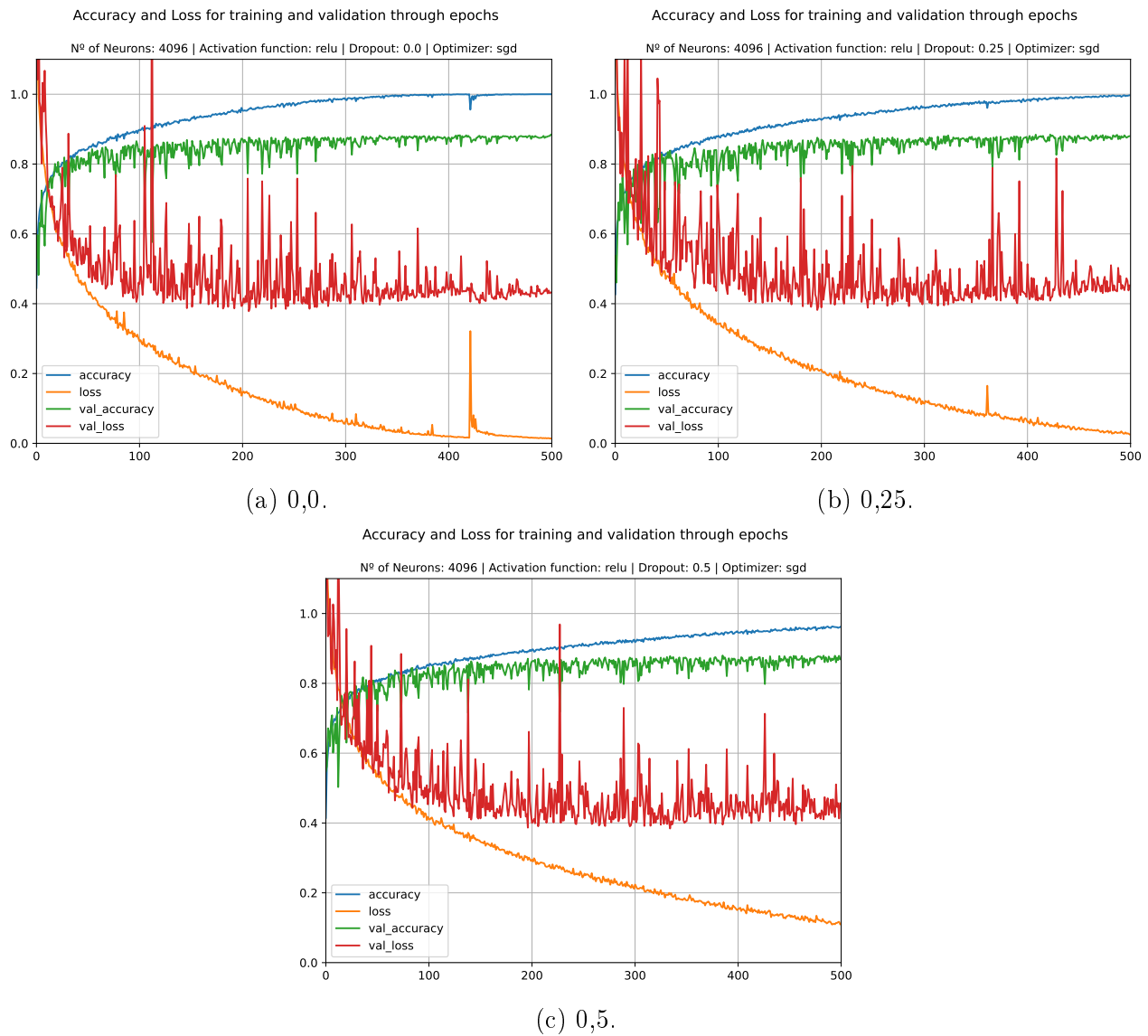


Figura 8: Evolução da perda e acurácia de treinamento e validação com as épocas de treinamento para diferentes taxas de *dropout*.

Dessa forma, a taxa de *dropout* de 0,25 foi incorporada à rede MLP, e será utilizada nas buscas posteriores.

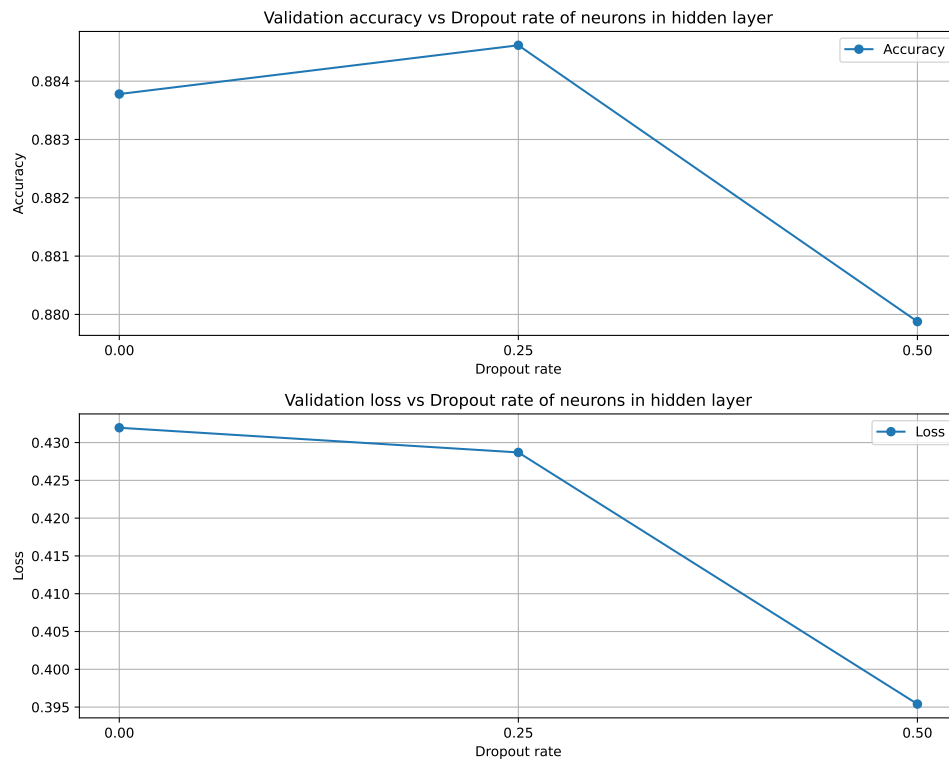
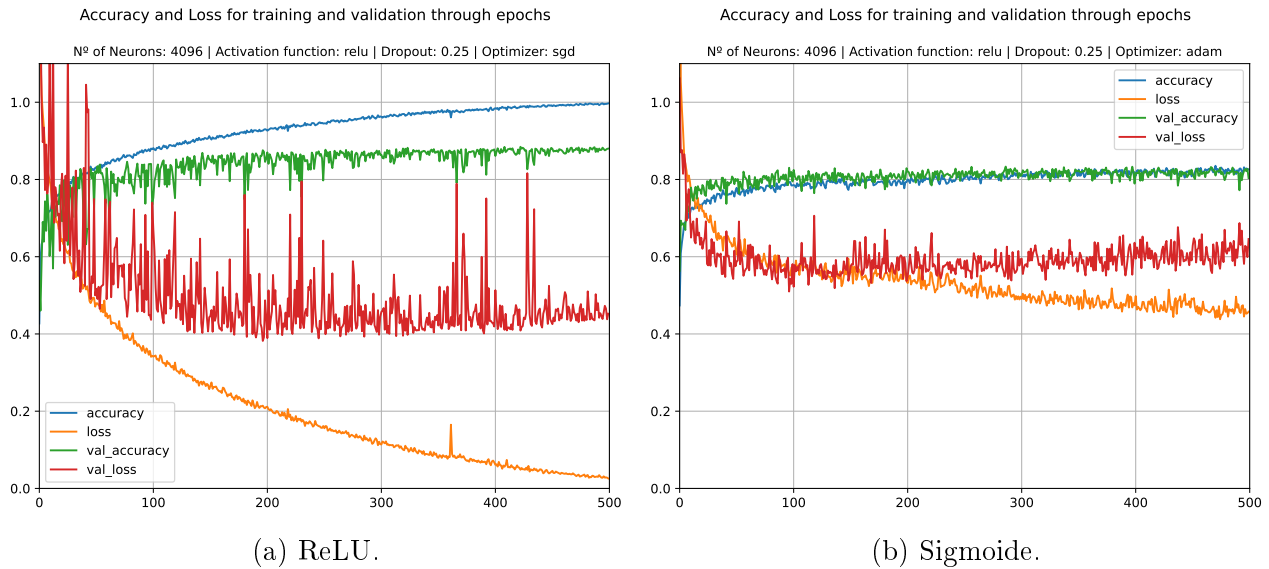


Figura 9: Acurácia e perda com a variação da taxa de *dropout* dos neurônios da camada intermediária.

2.1.4 Otimizador

Uma vez que a superfície de erro é desconhecida e comumente multimodal, o uso de um bom otimizador se faz crucial para garantir a convergência do modelo para um bom mínimo local, que garante uma melhor chance de maximização da capacidade de generalização do modelo. Para a busca, foram candidatos um algoritmo clássico, o *Stochastic Descendent Gradient* (SGD), e um algoritmo adaptativo, o ADAM.

O treinamento com cada um dos otimizadores se dá na Figura 10, onde pode-se observar que como esperado, o algoritmo adaptativo converge em menos épocas e de forma menos ruidosa, porém para um mínimo local de pior qualidade. Já o SGD, apresenta uma trajetória ruidosa, mas consegue alcançar um mínimo local de melhor qualidade, atingindo valores altos de acurácia e minimizando consideravelmente a perda.



(a) ReLU.

(b) Sigmoide.

Figura 10: Evolução da perda e acurácia de treinamento e validação com as épocas de treinamento para os otimizadores analisados.

Como já se sabe, algoritmos adaptativos tendem a convergir em menos épocas, porém nada se garante sobre a qualidade do mínimo local de convergência. No trabalho realizado por Wilson et al. (2018), a principal conclusão obtida é que máquinas treinadas com algoritmos adaptativos tendem a generalizar pior do que máquinas treinadas com algoritmos de SGD. Dessa forma, o mesmo resultado pode ser visto na MLP treinada, onde pela Figura 11, observa-se que a rede neural treinada com SGD consegue uma acurácia consideravelmente maior, e minimiza mais a função de custo sobre os dados de validação.

Sendo assim, o algoritmo de otimização SGD foi definido para o modelo final da rede, encerrando a busca de hiper-parâmetros.

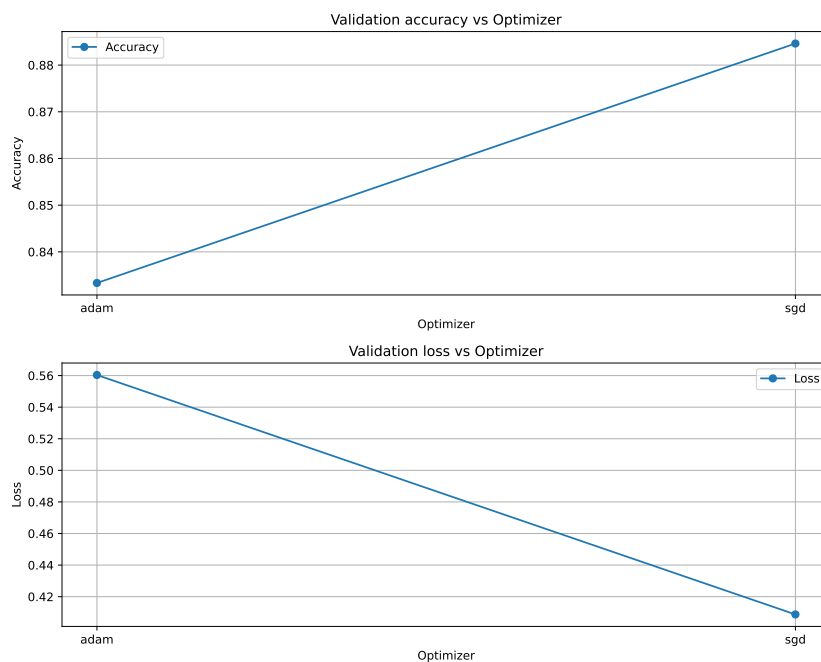


Figura 11: Acurácia e perda com a variação do algoritmo de otimização.

2.2 Análise do melhor modelo

Com a realização da busca exaustiva, foram obtidos como melhores hiper-parâmetros para a rede MLP:

- Número de neurônios: [4096]
- Função de ativação: [ReLU]
- *Dropout*: [0,25]
- Otimizador: [SGD]

Essa rede apresenta um total de 9,670,664 pesos treináveis, que uma vez ajustados durante o treinamento, apresentaram os seguintes valores de acurácia e acurácia balanceada frente aos dados de teste:

$$Accuracy = 0.8705 \quad (1)$$

$$BA = 0.8437 \quad (2)$$

A matriz de confusão do classificador é exibida na Tabela 1. Primeiramente, observa-se que a classe 3 é a mais desafiadora, uma vez que ela é fortemente confundida com as classes 0, 2, 4, 5 e 6, sendo a classe 7 a única que não se confunde com a 3. Pela Tabela 2, consegue-se ter um melhor panorama da precisão e do *recall* das classes, uma vez que as mesmas não são balanceadas. Como esperado, a classe 3 apresenta baixa precisão e o pior *recall*, mas a classe 0 é a que apresenta pior precisão, apresentando falsos positivos para a classe 3, 4 e 5. A classe 7 é a que apresenta a melhor classificação, com precisão quase unitária.

	0	1	2	3	4	5	6	7
0	177	3	0	43	4	17	0	0
1	1	613	0	3	1	0	6	0
2	4	1	264	16	6	3	11	6
3	34	26	3	447	5	32	32	0
4	13	0	11	31	182	0	6	0
5	10	2	1	48	3	215	5	0
6	0	22	5	22	2	2	611	2
7	0	0	1	0	0	0	0	469

Tabela 1: Matriz de confusão do classificador baseado em MLP.

Classe	Precisão	Recall
0	0.7254	0.7406
1	0.9824	0.9190
2	0.8489	0.9263
3	0.7720	0.7328
4	0.7490	0.8966
5	0.7570	0.7993
6	0.9174	0.9106
7	0.9979	0.9832

Tabela 2: Precisão e *recall* por classe do classificador baseado em MLP.

2.2.1 Análise dos erros

Foram selecionados alguns casos de erro, onde é exibido a amostra que foi classificada erroneamente, uma representante da classe do falso positivo, e uma representante da classe real daquela amostra, seguido pelas probabilidades daquele dado pertencer a cada uma das classes.

Nas Figuras 12 e 13, observa-se que houve grande desafio para classificar a classe da amostra, e a classe correta se encontra como a 2ª maior probabilidade, sem estar consideravelmente para trás.

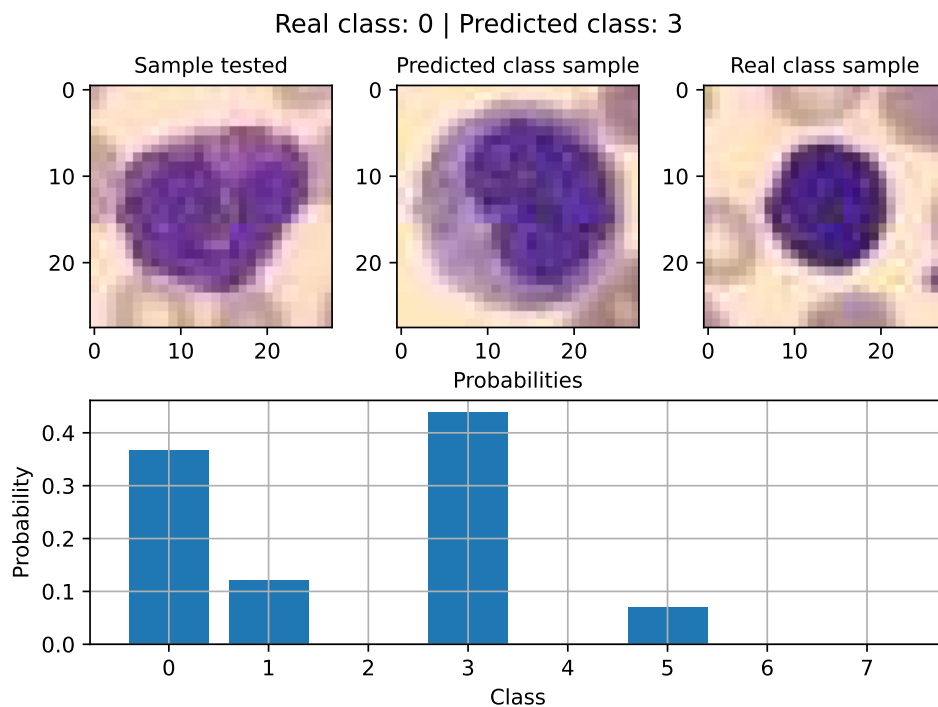


Figura 12: Análise de um caso de erro de classificação.

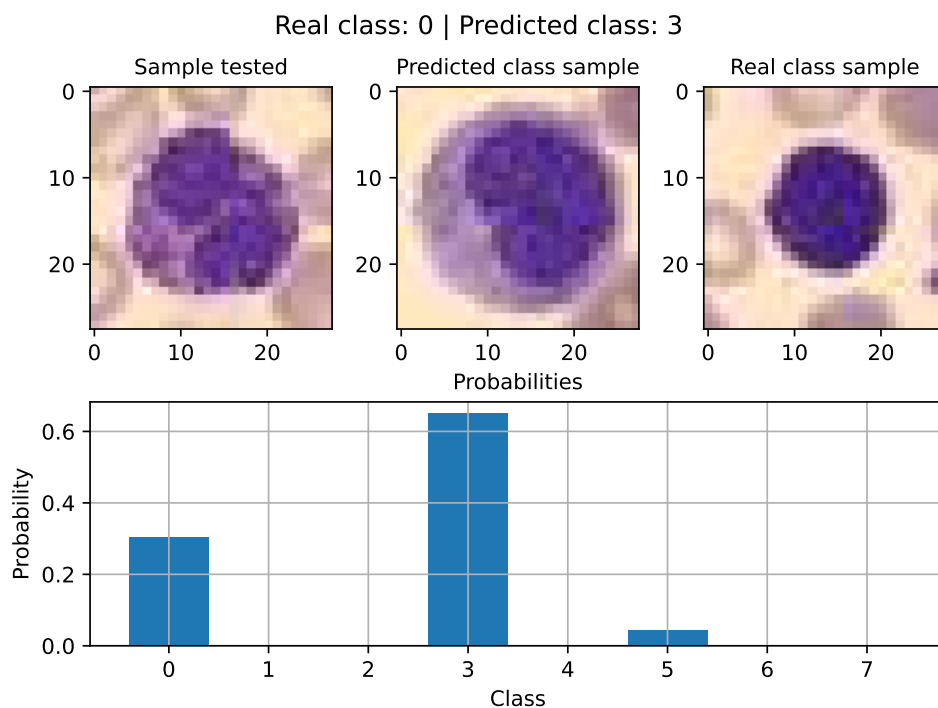


Figura 13: Análise de um caso de erro de classificação.

Já para as amostras das Figuras 14 e 15, o classificador errou com grande certeza, apresentando mais de 0,8 de probabilidade de ser a classe errada, mostrando uma grande falha na classificação. Porém, a classe correta continuou sendo a 2^a mais provável.

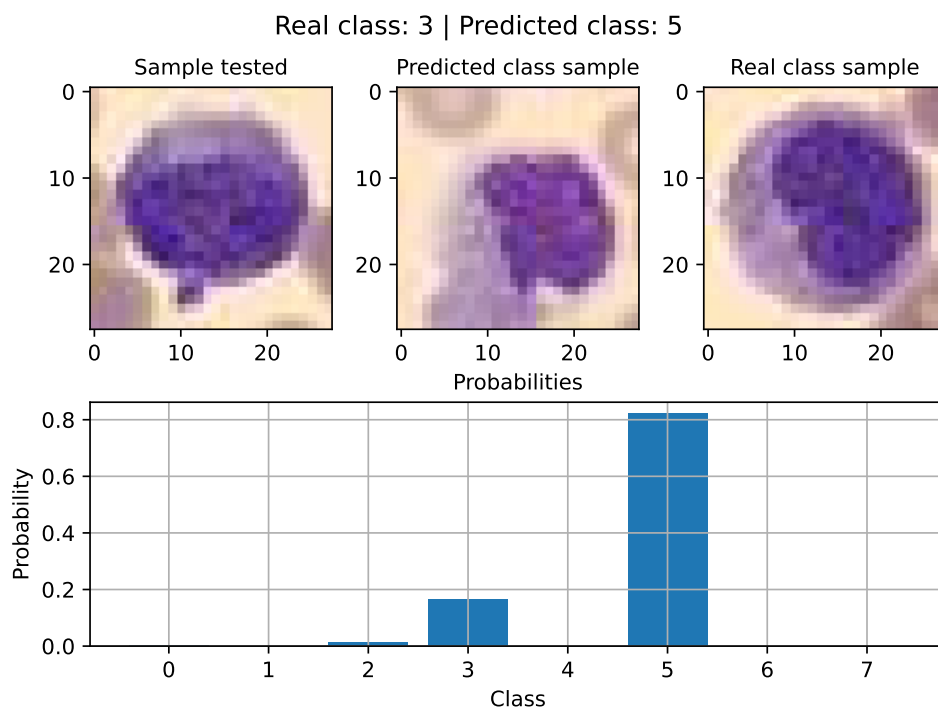


Figura 14: Análise de um caso de erro de classificação.

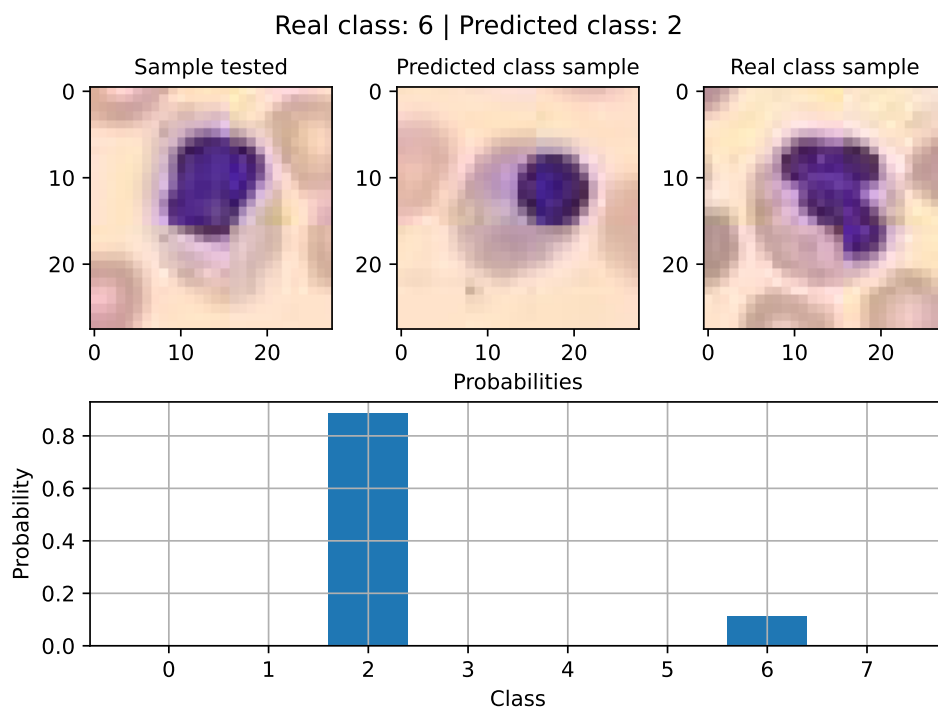


Figura 15: Análise de um caso de erro de classificação.

Já para a classificação do dado da Figura 16, houve grande certeza que a amostra era da classe 1, apresentando na sequência maiores probabilidades de pertencer à classe 2 e 7, respectivamente. Porém, a classe correta, 6, foi a 4ª mais provável, se mostrando como uma amostra muito desafiadora, o que pode ser percebido visualmente, por apresentar um padrão muito diferente do visto para a classe 6 na Figura 1.

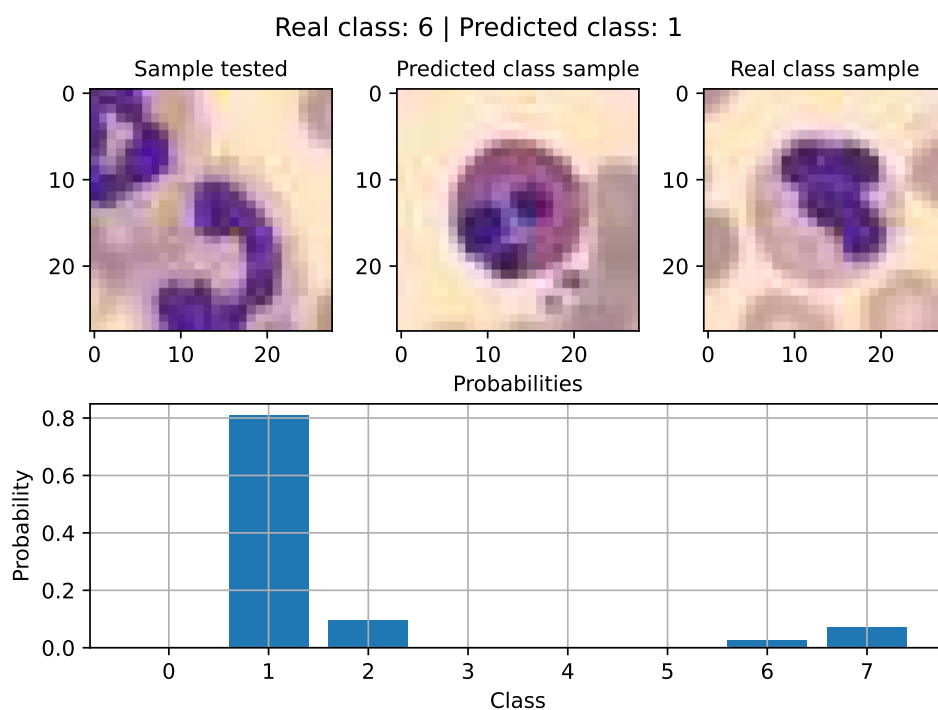


Figura 16: Análise de um caso de erro de classificação.

3 CNN Simples

Para a implementação a rede neural convolucional (CNN) com arquitetura rasa (*shallow*), foi utilizada uma rede possuindo apenas uma camada convolucional, uma camada de *pooling* e uma camada de saída com função de ativação *softmax*.

Com base no visto anteriormente, a função de ativação foi mantida como ReLU, o otimizador como SGD, entropia cruzada como função de custo e não foi empregado o uso de *dropout*, devido ao tamanho da rede. A camada de *pooling* escolhida utiliza a operação de máximo, operação selecionada a partir de um teste prévio, que mostrou maior acurácia da rede utilizando a operação de máximo frente à operação de média. O *kernel* de *pooling* foi mantido em um tamanho pequeno, de 2x2, pois como a rede é rasa, houve a intenção de preservar a maior quantidade de dados possível, em vista que não há expansão do campo receptivo.

3.1 Busca do melhor modelo

Para realizar a busca do melhor modelo de CNN, foram treinadas redes para os números de *kernels* e tamanhos de *kernels* mostrados a seguir:

- Número de *kernels*: [8; 16; 32; 64; 128]
- Tamanho dos *kernels*: [3x3; 5x5; 7x7; 9x9]

Diferentemente da MLP, devido à variação de somente dois hiper-parâmetros, foi realizada a busca exaustiva completa sobre tais variáveis no intervalo estipulado, e o mesmo foi expresso em um gráfico de temperatura, mostrado na Figura 17. Observa-se que a acurácia aumenta com o aumento do número de *kernels*, e também com o aumento do tamanho do *kernel*, mas principalmente com o primeiro. Como a rede convolucional possui apenas uma camada convolucional, não existe a expansão do campo receptivo dos neurônios sob o dado de entrada através das camadas, logo, um *kernel* maior consegue captar mais padrões, e dessa forma, chegar à um desempenho melhor. Já em relação ao número de *kernels*, é esperado que possuindo mais canais, cada canal possa detectar um atributo diferente e dessa forma generalizar melhor.

Devido ao pouco ganho de acurácia da configuração com *kernel* 9x9 para 64 ou 128 *kernels*, escolheu-se a opção com menos *kernels* para simplicidade da CNN, obtendo assim o melhor configuração da CNN *Shallow*:

- Número de *kernels*: [64]
- Tamanho dos *kernels*: [9x9]

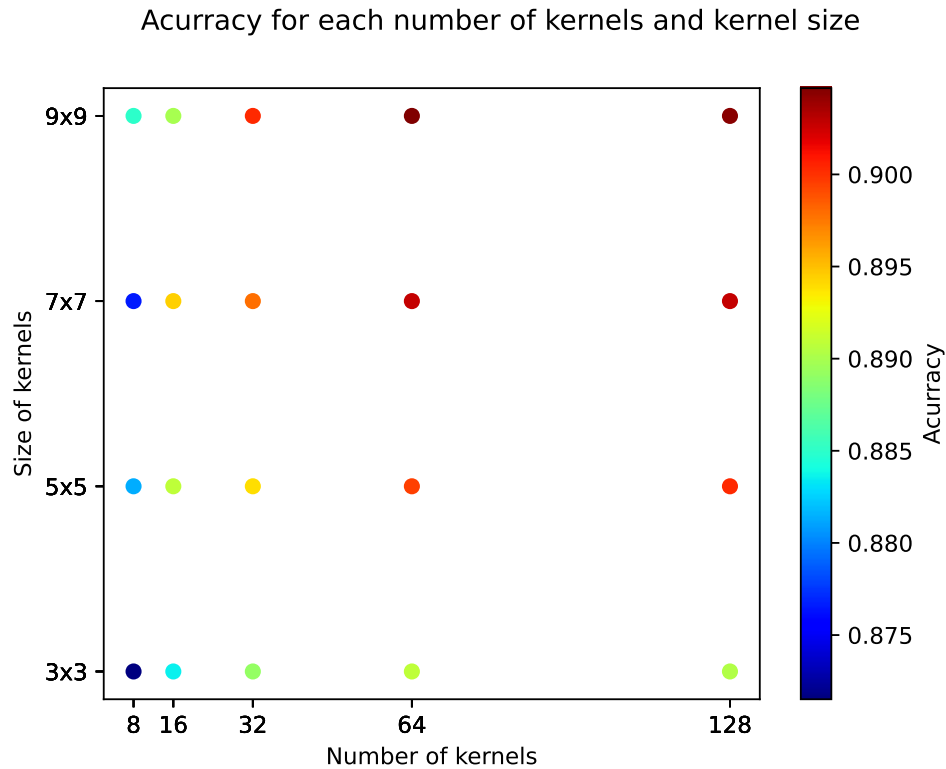


Figura 17: Acurácia do classificador de acordo com o número e tamanho dos *kernels*.

A Figura 18 mostra o treinamento da rede com melhor configuração por 200 épocas. Observa-se que a perda sob os dados de validação é bem menos errática, e não se percebe *overfitting*. Devido à saturação da acurácia, se fez satisfatório o treinamento em apenas 200 épocas, adotando de *early stopping* para concluir o treinamento da rede.



Figura 18: Acurácia e perda durante as épocas de treinamento do melhor modelo CNN *Shallow*.

3.2 Análise do Melhor modelo

Avaliando o desempenho do modelo com melhor configuração, o primeiro contraste que se explicita é que ele possui apenas 115,976 pesos treináveis, uma quantidade drasticamente inferior à da rede com camada densa. A acurácia e acurácia balanceada do classificador se veem em (3) e (4), apresentando um desempenho superior ao da MLP, com uma quantidade 842 vezes menor de parâmetros.

$$Accuracy = 0.9088 \quad (3)$$

$$BA = 0.8905 \quad (4)$$

A matriz de confusão do classificador baseado em CNN *Shallow* se encontra na Tabela 3. Observa-se que o perfil de classificação das classes se mantém o mesmo, porém com menos erros. A classe 3 continua sendo a mais desafiadora, porém a classe 5 passa a ter a menor precisão, sendo constantemente confundida com a classe 3. Dessa forma, se vê que o ganho de acurácia não é igual para todas classes, como visto na Tabela 4, onde algumas apresentaram um grande aumento de precisão e *recall*, já outras não possuíram grandes ganhos, como a classe 0 e 5.

	0	1	2	3	4	5	6	7
0	193	2	1	34	4	10	0	0
1	2	610	0	4	1	1	6	0
2	3	2	286	9	2	3	4	2
3	23	12	14	478	13	21	18	0
4	9	0	6	12	214	1	1	0
5	4	0	4	50	6	219	1	0
6	1	7	2	14	2	0	640	0
7	0	0	0	0	0	0	1	469

Tabela 3: Matriz de confusão do classificador baseado em CNN *Shallow*.

Classe	Precisão	<i>Recall</i>
0	0.7910	0.8213
1	0.9776	0.9637
2	0.9196	0.9137
3	0.8256	0.7953
4	0.8807	0.8843
5	0.7711	0.8588
6	0.9610	0.9538
7	0.9979	0.9958

Tabela 4: Matriz de confusão do classificador baseado em CNN *Shallow*.

3.2.1 Análise dos erros

Analizando alguns casos de erro de classificação da rede neural convolucional, observa-se na Figura 19 um caso onde houve dúvida entre três classes, sendo a verdadeira a segunda maior probabilidade. Observando visualmente, vê-se que a amostra a ser rotulada apresenta uma disparidade com sua representante de classe, o que leva a dificuldade de se encontrar padrões.

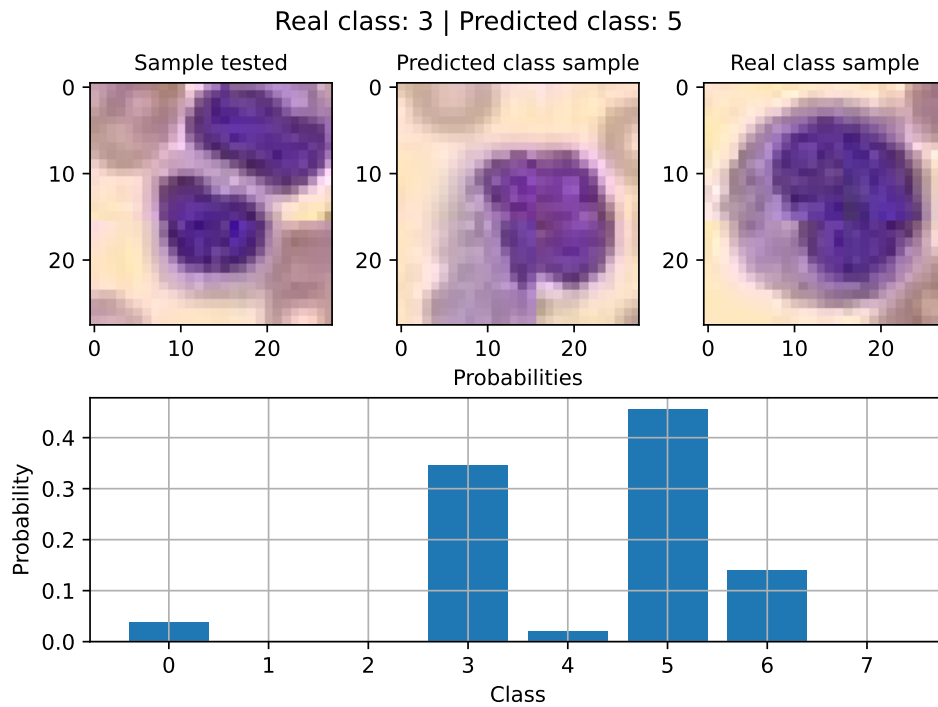


Figura 19: Análise de um caso de erro de classificação.

Já as amostras das Figuras 20 e 21, evidenciam casos muito desafiadores, onde houve dúvida entre 4 classes, e a classe verdadeira se encontrou como a última opção nos dois casos. Como no caso anterior, também se tratam de amostras que visualmente possuem um padrão diferente das suas representantes de classe, podendo se tratar de *outliers* ou amostras de baixa qualidade, onde o classificador demonstra mais dificuldade.

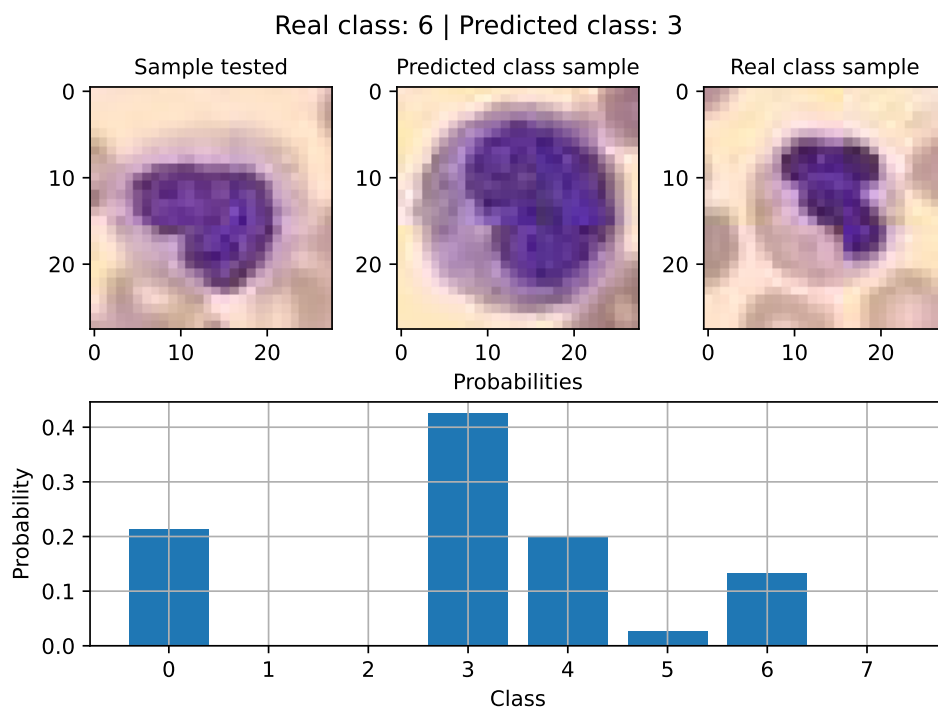


Figura 20: Análise de um caso de erro de classificação.

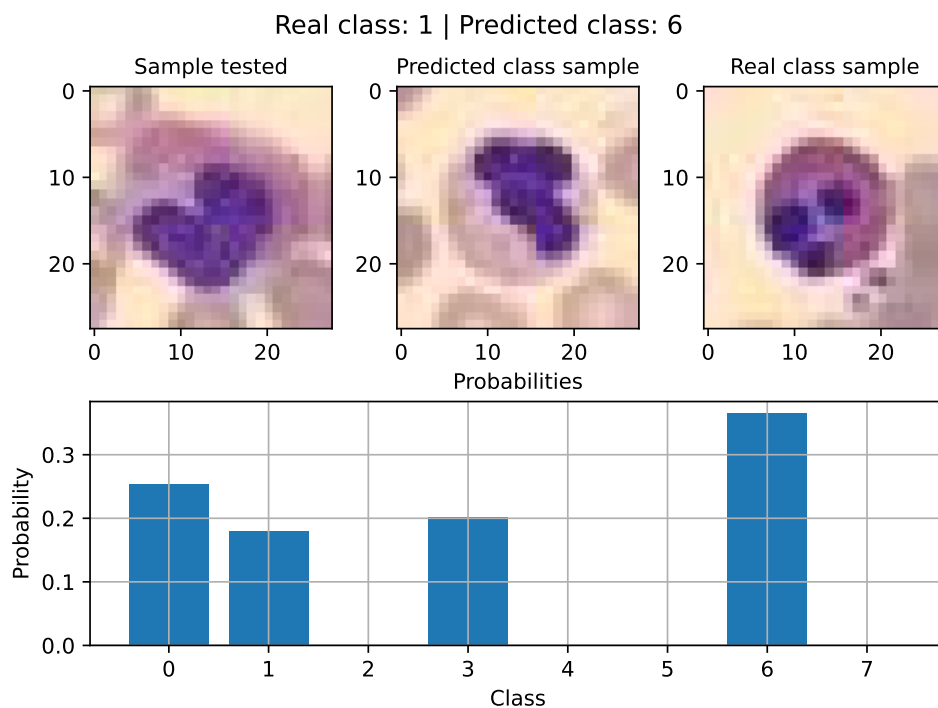


Figura 21: Análise de um caso de erro de classificação.

Como visto para a classificação utilizando a rede MLP, os dados das Figuras 22 e 23 também foram classificados erroneamente pela CNN *Shallow*, havendo uma certeza de majoritária sobre a classe errada.

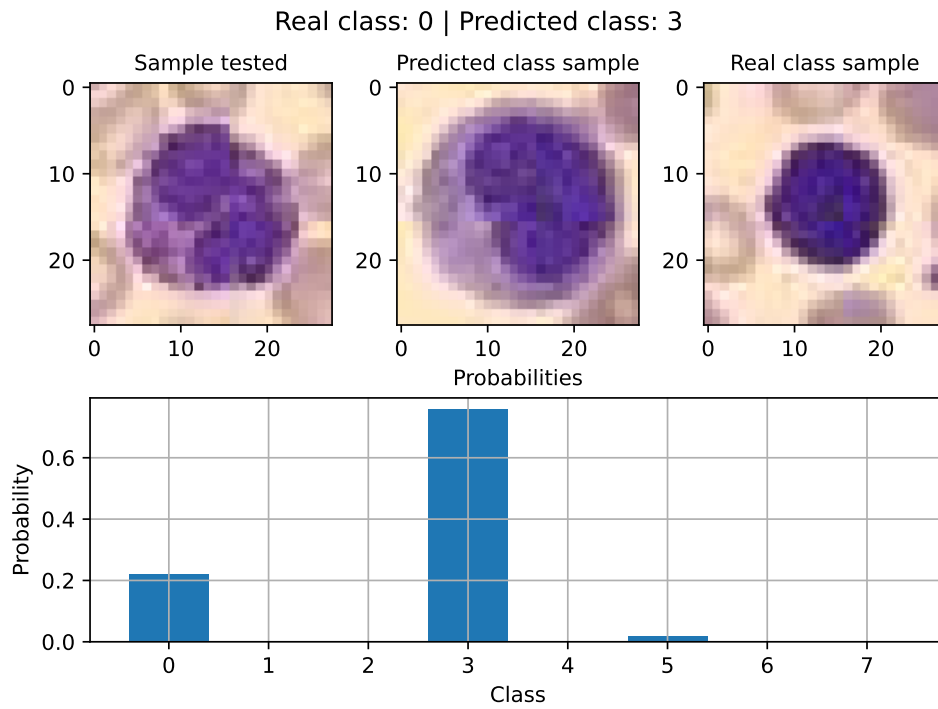


Figura 22: Análise de um caso de erro de classificação.

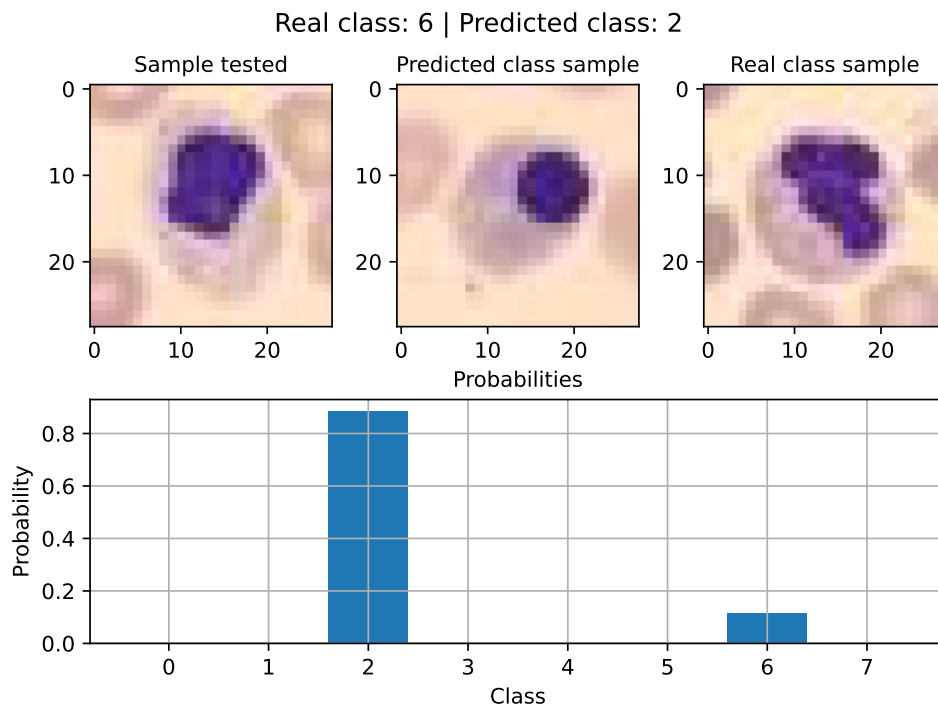


Figura 23: Análise de um caso de erro de classificação.

3.3 Aplicando uma entrada 64x64 à camada convolucional

Como se sabe, a camada convolucional é robusta à alteração da dimensão do dado de entrada, ou seja, a rede aqui treinada para dados 28x28, suporta o processamento de dados de dimensão, como será testado, 64x64. Porém, como uma entrada maior gera *feature maps* de

saída também maiores, a camada convolucional terá seus pesos congelados, e uma nova camada de saída *softmax* será treinada.

Ao treinar os 524,296 pesos resultantes da camada *softmax*, conservando os 15,616 pesos da camada convolucional, obteve-se o perfil de treinamento mostrado na Figura 24, e a acurácia sobre os dados de teste (5). Uma vez que apenas a camada de saída foi treinada, para um dado consideravelmente maior de entrada, a queda de acurácia não se faz tão grande, uma vez que para uma entrada com esse tamanho, além de pesos com diferença relevante, pode se fazer necessário o uso de *kernels* maiores.

$$Accuracy = 0.8620 \quad (5)$$

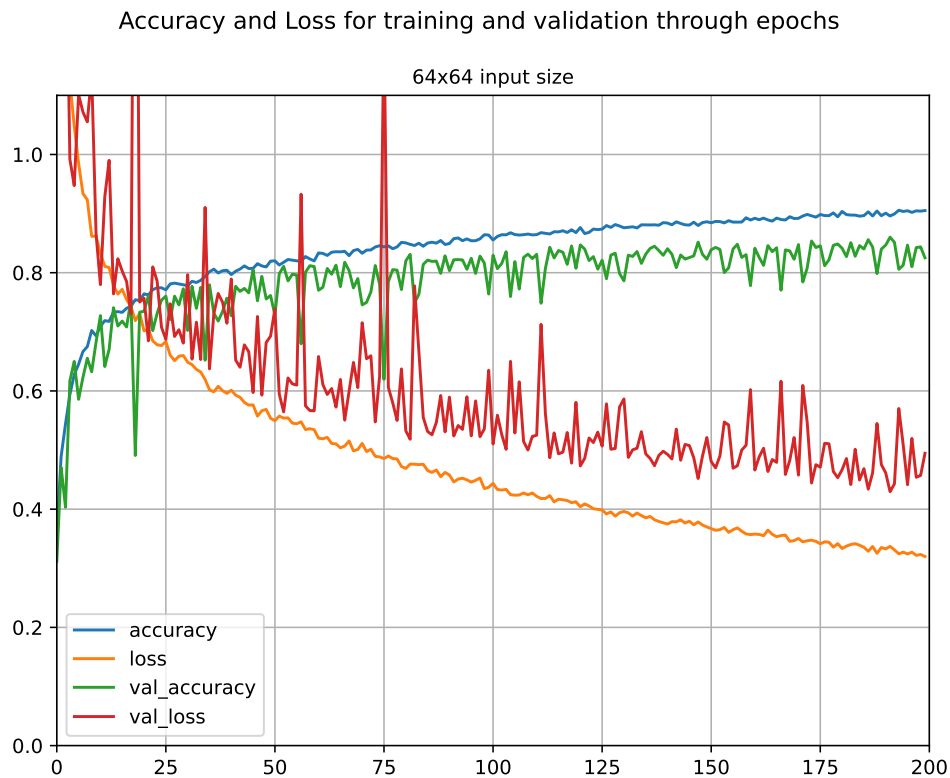


Figura 24: Acurácia e perda durante as épocas de treinamento apenas da camada de saída.

4 CNN Profunda

Para a solução do problema de classificação das células sanguíneas, utilizando uma rede neural convolucional profunda, foi criada uma arquitetura inspirada nas *DenseNets* (HUANG et al., 2018). A rede profunda modelo foi bastante simplificada, reduzindo o número de camadas, ao utilizar apenas um *Dense Block*, e também considerando camadas convolucionais e de *pooling* com *stride* unitário, com intuito de preservar melhor a dimensão dos dados, em vista que a entrada utilizada é 28x28. Em vista disso, o tamanho do *kernel* da camada de *pooling* também foi alterada para 2x2, conservando um canal de saída maior, e a camada de transição não foi utilizada devido ao fato de não haver a concatenação de *dense blocks*. O tamanho do *kernel* da primeira camada convolucional também foi aumentado para 9x9, o que resultou em um impacto positivo na acurácia do classificador. A arquitetura da rede neural implementada é mostrada na Tabela 5.

Camada	Dimensão de saída	Descrição
Convolução	[28, 28, 3]	BN() + ReLU() + 128, $7 \times 7 + 1(S)$
<i>Pooling</i>	[14, 14, 64]	$2 \times 2 + 1(S)$ max pooling
<i>Dense Block</i>	[14, 14, 256]	BN() + ReLU() + $\begin{bmatrix} 32, 1 \times 1 + 1(S) \\ 32, 3 \times 3 + 1(S) \end{bmatrix} \times 6$
<i>Pooling</i>	[256]	<i>Global average pooling</i>
Saída	[8]	<i>softmax</i> ()

Tabela 5: Estrutura da CNN profunda baseada na *DenseNet*.

Como feito na versão inicial, para cada camada convolucional, é aplicado uma camada de *batch normalization*, função de ativação ReLU e então é feita a convolução dos dados. Isso se faz tanto na camada convolucional inicial, como nas que estão presentes dentro do bloco denso.

A rede possui um total de 351,048 parâmetros, sendo 347,656 deles treináveis. Observa-se que mesmo com a camada densa de saída, o número de parâmetros não aumenta expressivamente devido ao uso da camada de *global average pooling*, que compacta cada canal de saída do *dense block* em um único valor, reduzindo consideravelmente a quantidade de dados que serão enfileirados para gerar a saída pela camada *softmax*.

Assim como anteriormente, o tamanho do *mini-batch* e o passo do otimizador SGD foram mantidos como padrão, e foi utilizada a entropia cruzada como função de custo. O modelo foi treinado por 200 épocas, sendo sempre salvo o valor da melhor época por meio de validação cruzada, que foi restaurado ao final do treinamento.

4.1 Análise do desempenho

Ao classificar os dados de teste com a rede convolucional profunda já treinada, observa-se um ganho interessante de acurácia, como mostrado em (6) e (7). Com a inserção de mais

camadas, o campo receptivo se amplia, permitindo o aprendizado de padrões mais complexos, e o aprendizado da representação, por meio da extração de atributos camada-a-camada.

$$Accuracy = 0.9497 \quad (6)$$

$$BA = 0.9444 \quad (7)$$

A matriz de confusão do classificador para os dados de teste é vista na Tabela 6, onde se percebe uma esparsidade maior, apresentando menos casos de erro. A classe mais desafiadora persiste sendo a 3, porém ao contrário do ocorrido com a CNN *Shallow*, a classe 5 apresentou uma grande ganho de precisão, como visto na Tabela 7. As classes 1 e 7 foram as que alcançaram maiores precisões e *recalls*, onde a ultima conseguiu atingir precisão unitária e apenas um caso de falso positivo.

	0	1	2	3	4	5	6	7
0	228	0	0	7	2	5	2	0
1	1	621	0	1	0	0	1	0
2	1	0	304	2	3	0	0	1
3	17	2	12	504	5	21	18	0
4	0	0	6	14	221	2	0	0
5	1	0	1	24	2	255	1	0
6	1	1	4	13	0	1	646	0
7	0	0	0	0	0	0	0	470

Tabela 6: Matriz de confusão do classificador baseado em CNN *Shallow*.

Classe	Precisão	<i>Recall</i>
0	0.9344	0.9157
1	0.9952	0.9952
2	0.9775	0.9297
3	0.8705	0.8920
4	0.9095	0.9485
5	0.8979	0.8979
6	0.9700	0.9671
7	1.0000	0.9979

Tabela 7: Matriz de confusão do classificador baseado em CNN *Shallow*.

4.2 Análise de erros

Analizando os erros da CNN *Deep*, observa-se principalmente um comportamento menos desafiador, onde a rede tende a errar menos, mas ao errar, o faz com certeza que está certa. Tal

questão se mostra nas Figuras 25, 26 e 27, onde há grande probabilidade para a classe vencedora, e a classe verdadeira ocupa a segunda posição, com probabilidade consideravelmente menor.

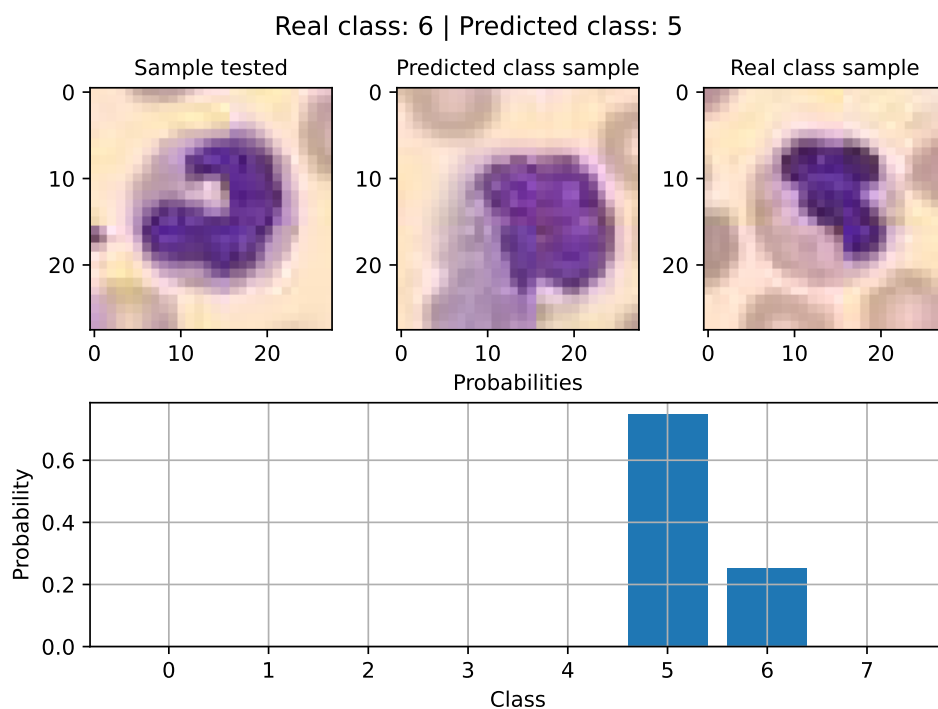


Figura 25: Análise de um caso de erro de classificação.

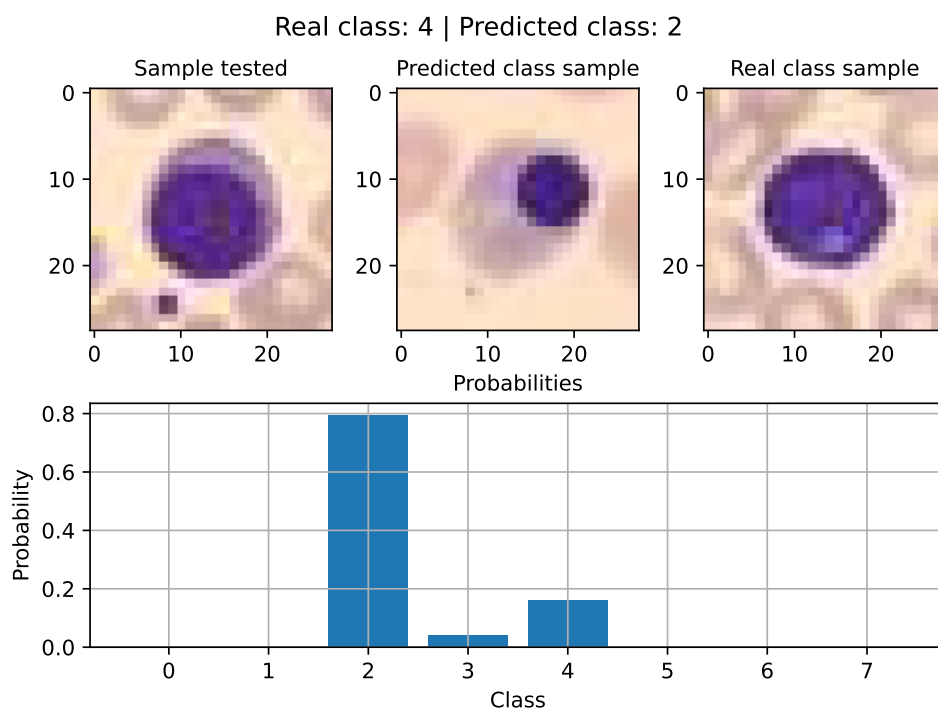


Figura 26: Análise de um caso de erro de classificação.

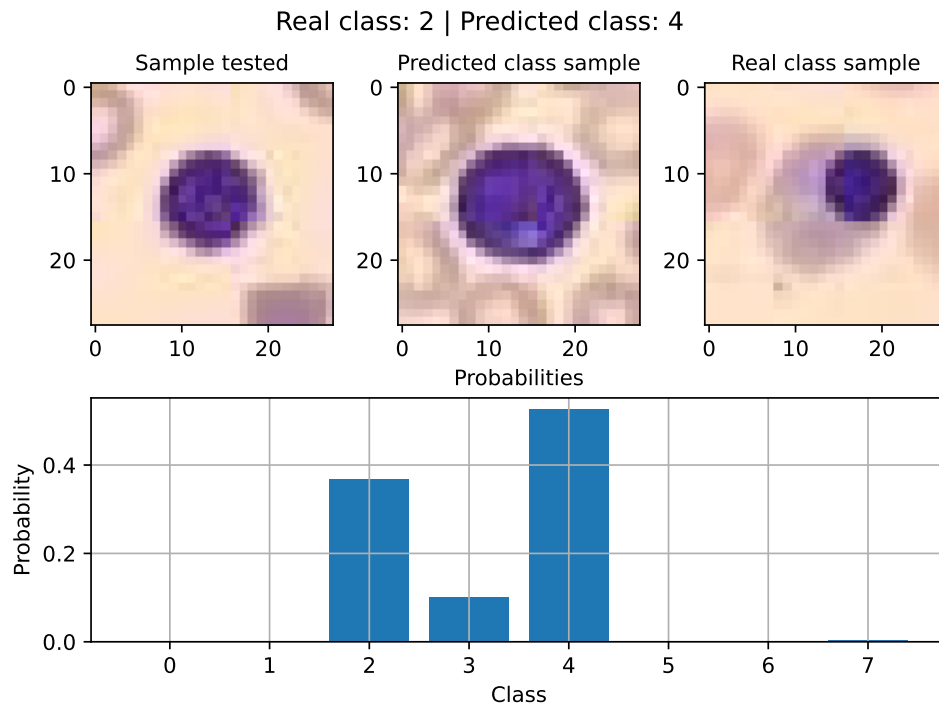


Figura 27: Análise de um caso de erro de classificação.

A amostra das Figuras 28 e 29 também apresentaram erro de classificação para a rede convolucional rasa, porém, ao comparar a Figura 20 e Figura 28, observa-se a mudança no panorama de probabilidades, onde a rede profunda passa a errar com certeza, onde para a rede rasa existia muita dúvida. Já ao comparar a Figura 15 e Figura 23 com a Figura 29 se vê o mesmo perfil de probabilidade, mas agora a rede profunda se confunde mais, colocando a probabilidade da classe real em posições inferiores, e aumentando a certeza sob a classe errada.

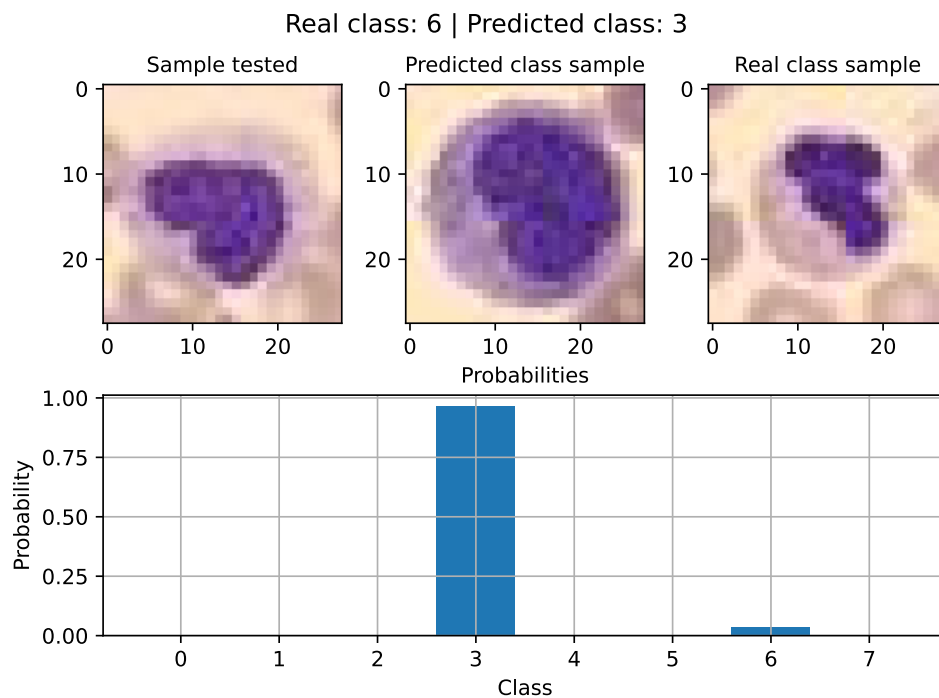


Figura 28: Análise de um caso de erro de classificação.

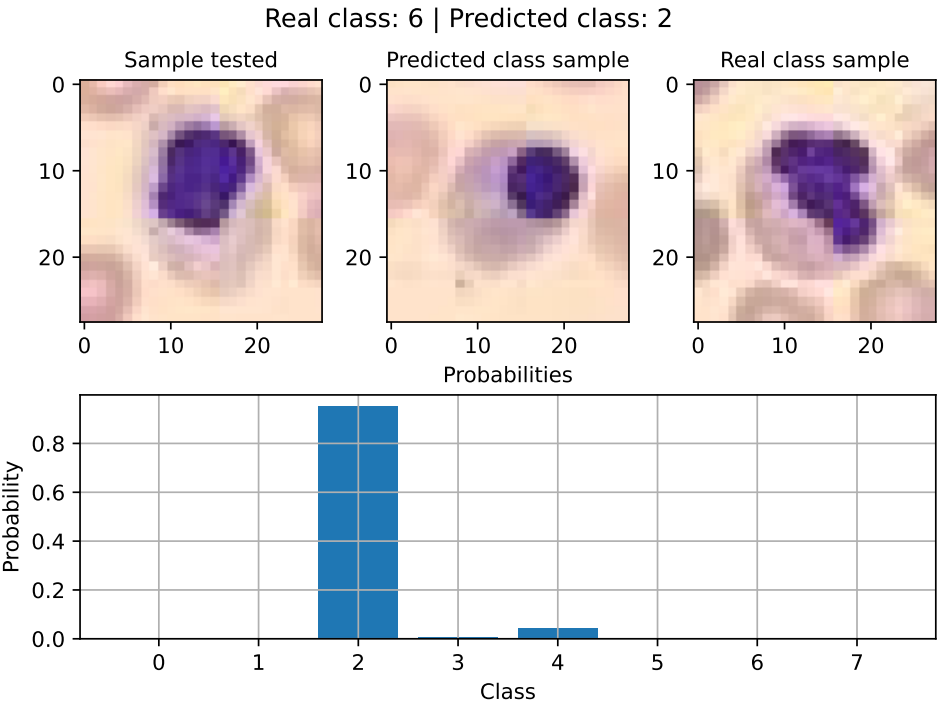


Figura 29: Análise de um caso de erro de classificação.

5 Conclusão

O problema solucionado com técnicas de redes neurais é desafiador, uma vez que têm-se que classificar em 8 classes tipos de células sanguíneas, que visualmente não possuem diferenças tão discrepantes, e que ainda porém apresentar variância no tamanho e posição na imagem. Com a utilização das amostras em tamanho 28x28, aceitou-se um pouco de perda de desempenho ao perder resolução, pelo ganho computacional para treinamento e classificação.

Para confecção do classificador, utilizou-se primeiramente redes neurais densas (MLP), que fazem o processamento do dado da imagem a partir do enfileiramento de todos os *pixels* dos três canais de cor em um grande vetor, que foi normalizado. Ao fazer isso, se perde a característica espacial do dado original da imagem, o que faz com seja uma solução menos robusta à variação dos dados de entrada. Para encontrar os hiper-parâmetros que maximizavam o desempenho da MLP, foi realizada uma busca exaustiva pelo número de neurônios da camada intermediária, função de ativação destes neurônios, taxa de *dropout* e algoritmo de otimização. Tal busca, apesar de trazer grande custo computacional, que impede a combinação de todas as possibilidades, trouxe um modelo com boa capacidade de generalização, em vista do uso de apenas uma camada.

O emprego de redes neurais com camadas convolucionais também foi realizado, implementando primeiramente uma CNN de apenas uma camada convolucional. A operação de convolução mantém a natureza espacial dos dados, dessa forma, cada conjunto de pesos aprende a detectar certos padrões, que podem ser encontrados independente da posição na imagem de entrada. Para essa rede, também se fez a busca pelos melhor hiper-parâmetros de número de *kernels* e o tamanho desses *kernels*. Devido a grande redução do número de pesos, nesse caso pode-se fazer uma busca exaustiva completa entre os candidatos, que além dos valores ótimos, exibiu o perfil de comportamento da relação da acurácia com os parâmetros buscados. Como a camada convolucional é robusta ao tamanho do dado de entrada, testou-se também a aplicação de uma imagem de entrada 64x64, onde após treinar apenas a camada de saída, conseguiu-se manter uma acurácia elevada, o que é limitado pelo campo receptivo reduzido de uma rede rasa.

Já ao dar profundidade à rede convolucional, com emprego de diversas camadas montadas na forma de blocos densos, assim como na *DenseNet*, observou-se um grande ganho de acurácia, reduzindo o erro em casos desafiadores e dando uma capacidade de generalização ainda maior à rede. Com o emprego de rede convolucionais profundas, consegue-se ampliar o campo receptivo à cada camada, permitindo o uso de *kernels* menores, gerando mais canais de saída e extraíndo mais atributos, onde cada camada simplifica o problema, e tornando a classificação pela camada de saída mais simples.

Ao comparar as três redes, o que mais se acentua é a quantidade de pesos ajustáveis presente em cada uma, onde a rede MLP chega a ter mais de 800 vezes a quantidade de pesos da CNN *Shallow*, apresentando um desempenho inferior. Já a rede profunda, devido às suas muitas camadas, apresenta um grande volume de pesos, ainda bem menor que da MLP, mas muito reduzido devido à camada de saída que realiza a compactação de cada um dos 256 canais de

saída da rede convolucional em um escalar, reduzindo consideravelmente o número de pesos da camada densa de saída. Porém também é claro o ganho de desempenho ao se escolher redes convolucionais, e principalmente, dando profundidade às mesmas. Ao processar imagens, ser robusto ao tamanho da entrada e à translação dos padrões dentro da imagem trazem resultados positivos, e que são alcançados ao usar CNNs. Porém, as redes MLP também apresentam grande desempenho, e são constantemente utilizadas na literatura para processar os dados no espaço latente criado pelas camadas convolucionais, trazendo um grande desempenho para as redes convolucionais profundas.

Dessa forma, vê-se que para obter um bom desempenho para classificação de imagens utilizando redes neurais, é necessário a tomada de diversas decisões: desde à arquitetura que será utilizada, até os hiper-parâmetros que serão escolhidos para tal. É importante também casar o modelo que se deseja utilizar com o *hardware* disponível, para que seu treinamento ocorra em tempo hábil e a mesma também possa ser utilizada com facilidade. Cada aplicação em aprendizado de máquina terá suas peculiaridades, e cabe ao cientista fazer bom uso da literatura e da sua experiência para fazer boas escolhas e realizar diversos testes para a escolha de um modelo capaz de generalizar da melhor forma possível, evitando assim um modelo muito rígido, que não aproxima bem os dados, ou um modelo com *overfitting*, que trás grande erro de estimação à solução.

Referências

GÉRON, A. *Hands-On Machine Learning with Scikit-Learn, Keras, and TensorFlow: Concepts, Tools, and Techniques to Build Intelligent Systems*. [S.l.]: O'Reilly Media, 2019. ISBN 9781492032618.

HUANG, G. et al. *Densely Connected Convolutional Networks*. [S.l.]: arXiv: 1608.06993, 2018.

WILSON, A. C. et al. *The Marginal Value of Adaptive Gradient Methods in Machine Learning*. [S.l.]: arXiv: 1705.08292, 2018.

Anexos

Códigos fonte

Todos os códigos fonte e arquivos de dados utilizados para a elaboração deste documento podem ser encontrados no repositório do GitHub no link: github.com/toffanetto/ia048.